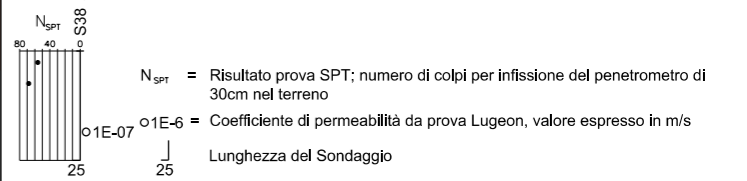


Tracciato lotto 10
Tracciato lotto 11

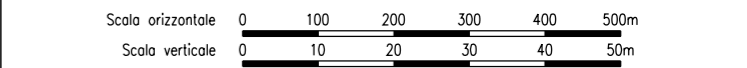
- ### LEGENDA
- DATI STRADALI:**
- Livellina tracciato
- INDAGINI:**
- S31 Sondaggio geognostico a carotaggio
 - S33Pz Sondaggio geognostico a carotaggio strumentato con piezometro
 - P40a Pozzetto esplorativo
 - TS48 Traversa sismica a rifrazione, interpretazione con metodo reciproco
 - T1 Traversa sismica a rifrazione, interpretazione tomografica
 - M.1 Prospezioni sismiche MASW
 - ST1 Stazione di rilievo geostrutturale
- GEOLOGIA:**
- Dta Copertura detritica costituita prevalentemente da limi e argille di colore bruno con inclusi eterometrici di natura diversa. (Olocene)
 - Dtb Copertura detritica costituita da prevalenti blocchi calcarei frammentati ad una matrice limo-argillosa di colore rossastro. (Olocene)
 - Al Depositi alluvionali attuali e recenti costituiti da sabbie, ghiaie e blocchi eterometrici arrotondati. (Olocene)
 - Calc Calcareni giallastri a stratificazione poco evidente con scarsi resti di molluschi ed alghe calcaree. (Pleistocene inferiore-medio)
 - Te Formazione Tellaro - Marne, marne argillose e calcari marnosi di colore variabile dal giallastro al grigiastro. (Miocene medio-superiore)
 - Ra Formazione Ragusa - Calcari, Calcareniti e calciruditi grigio - biancastri in banchi di spessore variabile con intercalati strati e livelli marnosi, marnoso-calcarei e marnoso-sabbiosi. (Oligo-Miocene)
- Asse di piega (anticlinale)**
- Faglia rilevata (le frecce indicano il movimento relativo tra i due lembi)
 - Faglia presunta (le frecce indicano il movimento relativo tra i due lembi)
 - Superficie piezometrica
 - Misura al piezometro
 - Linea di falda

PROVE IN SITU:

Per ogni sondaggio, laddove disponibili, sono riportati i risultati delle prove di permeabilità Lugeon e penetrometriche SPT. Il grafico associato alla colonna del sondaggio riporta il numero di colpi N_{SPT} ottenuto alle diverse profondità di indagine, e localmente il valore di permeabilità K dell'ammasso roccioso derivante dalle prove Lugeon.



- NOTE:**
- Il profilo presentato in queste tavole percorre l'intero tracciato in direzione Siracusa-Gela;
 - L'ubicazione di Siracusa e Gela nella pianta chiave è puramente indicativa.
 - Gli indici RMR89 riportati nella finca fanno riferimento ad ammassi rocciosi in condizioni asciutte senza tener conto dell'orientamento delle discontinuità in relazione alla direzione di avanzamento;
 - Il profilo in questione non riporta la caratterizzazione delle zone di faglia, che verrà esplicitata negli elaborati di dettaglio per le singole opere.



PROFLO		QUOTA DI RIFERIMENTO (m s.l.m.) Q.RIF. 50.00																							
PROFLO	QUOTE TERRENO	214.80	224.84	245.29	246.69	231.40	260.18	271.46	268.60	253.64	257.95	254.89	251.59	235.89	217.94	203.88	190.49	187.10	187.21	186.05	185.40	180.30	173.41	176.52	185.09
	QUOTE PROGETTO	182.32	183.35	194.37	185.40	186.43	187.45	188.48	189.39	189.91	190.03	189.75	189.07	188.10	187.10	186.11	185.12	184.12	183.13	182.14	181.18	180.02	180.56	181.00	181.54
	CHILOMETRICHE	4																							
	DISTANZE PROGRESSIVE	3500.00			4000.00			4500.00			5000.00			5500.00											
	COPERTURA (m) (DA LIVELLETTA)	20-60		70-40		50-90		50-15	15-7		≤ 5														5-10
GEOLOGIA	FORMAZIONE	F. RAGUSA												F. RAGUSA											
	LITOLOGIA DESCRIZIONE DELLE FORMAZIONI	ALTERNANZA DI MARNE CALCAREE E CALCARI MARNOSI BEN STRATIFICATE CON GIACITURE SUB-ORIZZONTALI												PREVALENTI CALCARENITI GRIGIASTRE BEN STRATIFICATE CON INTERCALATI LIVELLI CALCAREO-MARNOSI, GIACITURA SUB-ORIZZONTALE											
INDICI DI CARATTERIZZAZIONE DELL'AMMASSO ROCCIOSO	RMR 89 di base	52												47											
	GSI	47												42											
	PESO DI VOLUME (kn/m ³)	23												23											
	PARAMETRO DI DANNEGGIAMENTO	0												0											
	PARAMETRI ROCCIA INTATTA	30												35											
PARAMETRI DI RESISTENZA DELL'AMMASSO ROCCIOSO	RESISTENZA A COMPRESSIONE AMMASSO (MPa)	1.6												1.4											
	RESISTENZA A TRAZIONE AMMASSO (MPa)	0.06												0.04											
	HOEK-BROWN	INDICE m_p	1.50												1.26										
		INDICE s_p	2.8e-3												1.6e-3										
		INDICE m_r	1.05												0.88										
		INDICE s_r	1e-4												6.4e-5										
	PARAMETRI DI RESISTENZA DELL'AMMASSO ROCCIOSO	COESIONE DI PICCO (MPa)	C_p	0.39	0.44	0.54	0.39	0.25				0.2													
			C_u																						
		ANGOLO D'ATTRITO DI PICCO (°)	ϕ_p	49	47	45	49	59				59													
			ϕ_r	47	45	42	47	58				58													
COESIONE RESIDUA (MPa)		C_r	0.29	0.34	0.44	0.29	0.11				0.1														
		C_{r1}	47	45	42	47	58				58														
ANGOLO D'ATTRITO RESIDUO (°)		ϕ_r	62	61	60	62	65				67														
		ϕ_{r1}	62	61	60	62	65				67														
PARAMETRI DI RESISTENZA DELL'AMMASSO ROCCIOSO		MODULO ELASTICO (MPa)	4600												4700										
		COEFFICIENTE DI POISSON (-)	0.2												0.2										
PARAMETRI DI DEFORMABILITA'	PERMEABILITA' K (m/s)	1E-7												1E-7											

DATA	DICEMBRE 2011	PROGETTAZIONE	F. BUSOLA	
CODICE CAD-FILE	EA1811T00GG00GTF007A.dwg	IL RESPONSABILE :	DOIT. INC. F. BUSOLA	
OPERA PROTETTA AI SENSI DELLA LEGGE 22 APRILE 1941 N. 633 TUTTI I DIRITTI RISERVATI				
QUALSIASI RIPRODUZIONE ED UTILIZZAZIONE NON AUTORIZZATE SARANNO PERSEGUITE A RIGORE DI LEGGE				

CONSORZIO PER LE AUTOSTRADE SICILIANE
AUTOSTRADA SIRACUSA - GELA
2° TRONCO: ROSOLINI - RAGUSA
LOTTO 10/11
PROGETTO ESECUTIVO
IDENTIFICAZIONE ELABORATO
E A 1 8 1 1 T 0 0 G G 0 0 G E T F T 0 0 7 A
PROG. STRADA LOTTO MACRO OPERA OPERA PARTE DI OPERA TIPOLOGIA N. ELABORATO REV.

LOTTO 11 "RAGUSA"
GEOTECNICA
PROFLO GEOTECNICO E GEOMECCANICO ASSE PRINCIPALE DIREZIONE SIRACUSA
TAV. 3 DI 4 - DA Km 3+400 A Km 5+400